

УДК 621.793:539.3

ДОСЛІДЖЕННЯ КОГЕЗІЙНОЇ МІЦНОСТІ ТА ТРИЩИНОСТІЙКОСТІ ПЛАЗМОВИХ ПОКРИТТІВ

М.А. ДОЛГОВ, Н.А. ЗУБРЕЦЬКА

Київський національний університет технологій та дизайну

А.В. БЄСОВ

Інститут проблем матеріалознавства ім. І.Н.Францевича НАН України, м. Київ

У статті наведено результати дослідження властивостей плазмових покріттів з кобальт-хромового сплаву, що напилені на литу основу з того ж сплаву при випробуваннях зразків на розтяг.

Визначено модуль пружності, когезійну міцність та тріщиностійкість покріттів. Видзначено, що плазмове покриття має модуль пружності менший, ніж матеріал основи. Розтяг пласких зразків з покріттям викликає появу у плазмових покріттях сітки мікротріщин, але не призводить до їх відшарування.

Інформація щодо механічних властивостей покріттів необхідна для розрахунків на міцність елементів конструкцій [1], для оптимізації технологічних режимів нанесення покріттів та аналізу причин їх руйнування. Покріття характеризується не лише властивостями адгезійного контакту, у той же час дані про когезійну міцність покріття не дозволяють зробити висновки щодо його міцнісних властивостей. Крім того, слід відзначити, що когезійна міцність може бути забезпечена тільки за умови достатньої адгезійної міцності покріття. Відтак не має сенсу створювати покріття з високою когезійною міцністю, яке залишається нереалізованим внаслідок його відшарування від основи.

Ще одним важливим параметром, що характеризує міцнісні властивості покріттів, є тріщиностійкість. У покрітті існують дефекти, які являються концентраторами напружень. В цих місцях виникають тріщини, котрі можуть викликати когезійне руйнування покріття. Тому визначення когезійної міцності та тріщиностійкості покріттів є актуальним завданням, вирішення якого дозволить більш коректно та достовірно робити висновки щодо міцносніх властивостей покріттів.

Постановка завдання

Існує велика кількість методів вимірювання когезійної міцності та тріщиностійкості покріттів. Для компактних матеріалів і відносно товстих покріттів тріщиностійкість визначається достатньо просто. Однак, визначення тріщиностійкості тонких покріттів викликає труднощі внаслідок їх невеликої товщини [2]. Тріщиностійкість покріттів у більшості робіт визначають методами індентування [3, 4]. Крім того, для визначення тріщиностійкості використовують дряпання [5, 6], а також випробування на згин [7, 8] та втрату стійкості [9].

Виходячи з того, що визначеннякої міцнісної характеристики використовуються різні методики, то для коїної методики розробляється своя форма, вид та розміри зразка. Все це призводить до виникнення труднощів при порівнянні результатів, які були отримані різними дослідниками.

Метою даної роботи є визначення когезійної міцності та тріщиностійкості плазмових покріттів при випробуваннях на розтяг протягом одного експериментального циклу. Визначення цих характеристик на одному зразку за одне випробування на розтяг на стандартній розривній машині дозволить більш коректно та достовірно оцінити міцнісні властивості плазмових покріттів.

Об'єкти та методи дослідження

В основу розробленої методики для визначення когезійної міцності та тріциностійкості покріттів покладено короткоспеціальні статичні випробування на розтяг зразків з покріттями та без покріттів. Для випробувань на розтяг використовувалися пласкі металічні зразки товщиною 1 мм (рис.1). Зразки виготовлялися з литого кобальт-хромового сплаву (КХС) (хімічний склад, ваговий %: (61...65) Co, (25...28) Cr, (3...3,75) Ni, (4,5...5,0) Mo).



Рис. 1. Фотографія зразка без покриття

Для напилення покріттів використовувався порошок КХС [10]. Нанесення покріттів проводилось на спеціально створеному мікроплазмовому обладнанні «ПЛАСТ» [11]. Режими напилення наведені в табл.1.

Таблиця 1. Режими напилення покріттів

| Струм, А | Дистанція напилення, мм | Дисперсія порошку, мкм |
|----------|-------------------------|------------------------|
| 5,0-5,8 | 28-42 | -100+40 |

Покріття симетрично нанесено на верхню та нижню поверхню металічного зразка. Для покращення когезійної міцності поверхні зразка перед напиленням пройшли піскоструйну обробку. Товщина покріття складала 90 мкм та варіювалась від зразка до зразка. Довжина робочої частини зразка складала 40 мм. Металічні зразки, на які було нанесено покріття, виготовляли у відповідності до стандартів для випробування механічних властивостей металів без покріттів.

Для розтягу використовували стандартну розривну машину, спочатку на зразках без покріття визначали механічні властивості металічної основи з КХС, далі навантажували зразки з плазмовим покріттям. Такий підхід дозволяє отримувати більш достовірні результати.

У процесі навантаження зразків безперервно вимірювали деформації та відповідні їм зусилля на розтяг за допомогою тензодатчиків. Після руйнування тензодатчиків деформації зразків визначаються за переміщенням захватів розривної машини, записуються діаграми розтягу зразків з покріттями та без покріттів. Сигнали акустичної емісії (AE) використовуються для реєстрації моменту руйнування системи основа-покріття (зразка з покріттям). За сигналами AE на діаграмах розтягу визначаються деформації, що характеризують граничний стан системи основа-покріття. Фіксувалася деформація, при якій виникало розтріскування покріття. Реєстрація моменту руйнування покріття за допомогою сигналів AE виконувалася приладом АФ-15.

Випробування на розтяг зразків проводилися на розривній машині *FM-1000*. Для вимірювання деформацій при випробуваннях використовувалися тензодатчики КФ-5П. Залежності для визначення тріщиностійкості покріттів наведено в роботі [12].

Результати та їх обговорення

Рентгеноструктурні дослідження плазмових покріттів проводилися на дифрактометрі ДРОН-3 у немонохроматизованому рентгенівському випромінюванні хромового аноду. Аналіз дифракційної картини, наведеної на дифрактограмі (рис. 2), показав, що покріття належить до простого типу кристалічних структур, тобто має гранецентровану кубічну (ГЦК) структуру.

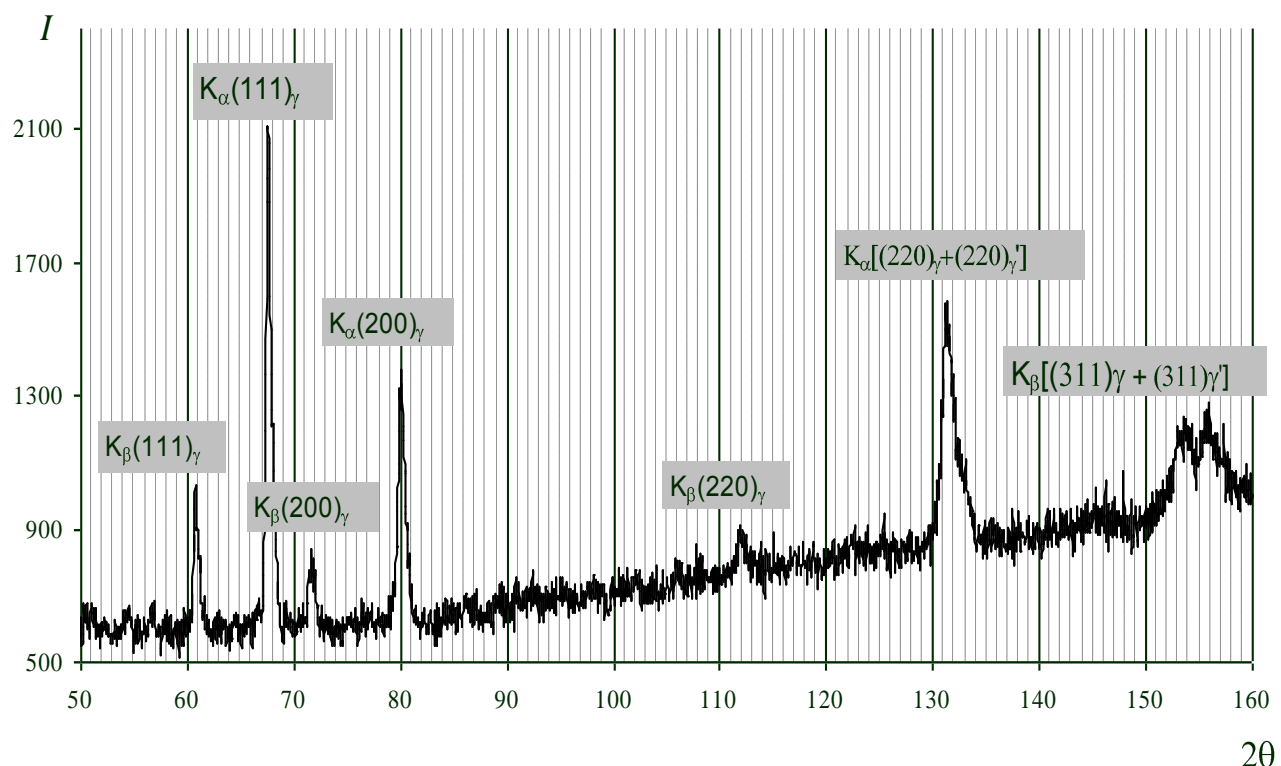


Рис. 2. Дифрактограма плазмового покриття із КХС

Розмиті рефлекси в покрітті свідчать про наявність зональних напружень в матеріалі покріття в γ - та γ' - фазах, через що розщеплення рефлексів в його дифракційній картині майже не помітне. Параметри кристалічних граток покріття наведено в табл. 2.

Таблиця 2. Параметри кристалічних граток покріття

| Параметри граток, нм | |
|----------------------|---------------|
| a_{γ} | $a_{\gamma'}$ |
| 0,3551 | 0,3536 |

При випробуваннях зразків визначалися наступні механічні властивості системи основа-покріття та її складових, а саме:

1. Модулі пружності основи E_s та покріття E_c (E_c визначається за методикою, яка описана в [13]).

2. Межа міцності σ_u зразків з покриттями та без покріттів.
3. Когезійна міцність покріття σ_{cr} .
4. Межа текучості σ_Y зразків з покриттями та без покріттів.
5. Тріщиностійкість покріттів K_{IC} .

Механічні властивості зразків, що були визначені за результатами випробувань, представлено в табл. 3.

Таблиця 2. Механічні властивості системи основа-покріття та її складових

| | σ_u , МПа | σ_{cr} , МПа | σ_Y , МПа | E , ГПа | K_{IC} , МПа·м ^{1/2} |
|----------|------------------|---------------------|------------------|-----------|---------------------------------|
| Основа | 500 | — | 310 | 180 | — |
| Покріття | — | 120 | — | 70 | 1,6 |
| Система | 448 | — | 275 | — | — |

На рис. 3 наведено фотографію зразка без покріття після випробувань на розтяг, де чітко видно тріщину, що виникла в середині робочої частини зразка.



Рис. 2. Фотографія зразка без покріття з тріщиною (вид зверху)

При випробуваннях зразків з покріттями було визначено, що перша тріщина в покрітті виникає при пружній деформації основи. Подальше навантаження зразків призводило до появи численних тріщин в покрітті, але відшарування покріття при цьому не виявлено. На рис. 3 показано зруйнований зразок після випробувань.

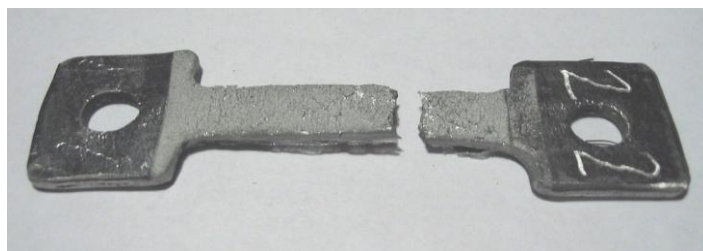


Рис. 3. Фотографія зразка з покріттям після випробувань на розтяг

Для визначення залишкових напружень покріття товщиною 90 мкм було нанесено на жорстко закріплenu пластину товщиною 0,5 мм, що не дає можливості стискатися та згинатися в процесі нанесення покріття. Після закінчення процесу нанесення покріття вимірювався радіус кривизни пластиини, яка під дією внутрішніх сил приймали свою урівноважену форму, а потім визначались залишкові напруження в покрітті [14]. Величина залишкових напружень в покрітті склала $\sigma_R = 25$ МПа. Значення визначеної тріщиностійкості K_{IC} плазмового покріття з КХС наведена в табл. 3.

Висновки

На основі проведених випробувань на розтяг визначалися пружні властивості покриття та основи з кобальт-хромового сплаву. Досліджено тріщиностійкість та когезійну міцність плазмових покріттів. Плазмове покриття з КХС має модуль пружності менший, ніж металічна основа. При розтягуванні зразків у покріттях з'являється сітка мікротріщин. Відшарування покриття не виявлено. Нанесення покріття знижує рівень напружень в системі, через те, що покриття сприймає частину навантаження, яке прикладене до зразка. У зв'язку з тим, що модуль пружності покріття меншим, ніж у модулях пружності основи, то напруження в покрітті є істотно меншим. Таким чином, наведені в роботі дослідження дозволили визначити міцнісні властивості плазмових покріттів з КХС при випробуваннях зразків на розтяг. У подальших роботах планується дослідити вплив технологічних режимів на когезійну міцність та тріщиностійкість плазмових покріттів з КХС.

ЛІТЕРАТУРА

4. Долгов Н.А. Расчеты на прочность и жесткость элементов конструкций с защитными покрытиями // Вестник УГТУ-УПИ. Механика микронеоднородных материалов и разрушение: Сб. научн. трудов. Екатеринбург: ГОУ ВПО УГТУ-УПИ, – 2004. – №22(52). – с.47–51.
5. Leung D.K., He M.Y., Evans A.G. The cracking resistance of nanoscale layers and films// Journal of Materials Research.– 1995.– v.10.– p.1693–1699.
6. Xia Z., Curtin W.A., Sheldon B.W. A new method to evaluate the fracture toughness of thin films// Acta Materialia.– 2004.– v.52.– p.3507–3517.
7. Coating fracture toughness determined by Vickers indentation: an important parameter in cavitation erosion resistance of WC-Co thermally sprayed coatings / M.M.Lima, C.Godoy, P.J.Modenesi et al. // Surface and Coatings Technology.– 2004.– v.177.– p.489–496.
8. Sundararajan S., Bhushan B. Development of a continuous microscratch technique in an atomic force microscope and its application to study scratch resistance of ultrathin hard amorphous carbon coatings// Journal of Materials Research.– 2001.– v.16.– p.437–445.
9. A model for stresses, crack generation and fracture toughness calculation in scratched TiN-coated steel surfaces/ K.Holmberg, A.Laukkanen, H.Ronkainen et al // Wear.– 2003.– v.254.– p.278–291.
10. A new method of determining strength and fracture toughness of thin hard coatings/ G.Jaeger, I.Endler, M.Heilmaier et al. // Thin Solid Films.– 2000.– v.377.– p.382–388.
11. Accurate measurement of fracture toughness of free standing diamond films by three-point bending tests with sharp pre-cracked specimens/ Z.Jiang, F.X.Lu, W.Z.Tang et al. // Diamond and Related Materials.– 2000.– v.9.– p.1734–1738.
12. Chen Z., Cotterell B., Wang W. The fracture of brittle thin films on compliant substrates in flexible displays// Engineering Fracture Mechanics.– 2002.– v.69.– p.597–603
13. Бессов А.В., Маслюк В.А., Степанчук А.М. Способ виготовлення порошків кобальт-хромових сплавів для нанесення газотермічних покріттів на медичні вироби. Патент № 48648A. – 2002.

14. Бєсов А.В., Морозов В.В. Можливості застосування плазмової технології в медицині // Металознавство та обробка металів.– 2002.– №3.– с.62–66.
15. Hu M.S., Evans A.G. The cracking and decohesion of thin films on ductile substrates // Acta Metall.– 1989. –v.37, No 3.– p.917–925.
16. Долгов Н.А. Метод определения модуля упругости газотермических покрытий // Порошковая металлургия. – 2004. – №7/8. – с.110–115.
17. Clyne T.W. Residual stresses in surface coatings and their effects on interfacial debonding //Key Engineering Materials. –1996.– v.116. с.117–330.

Надійшла 21.10.2009